

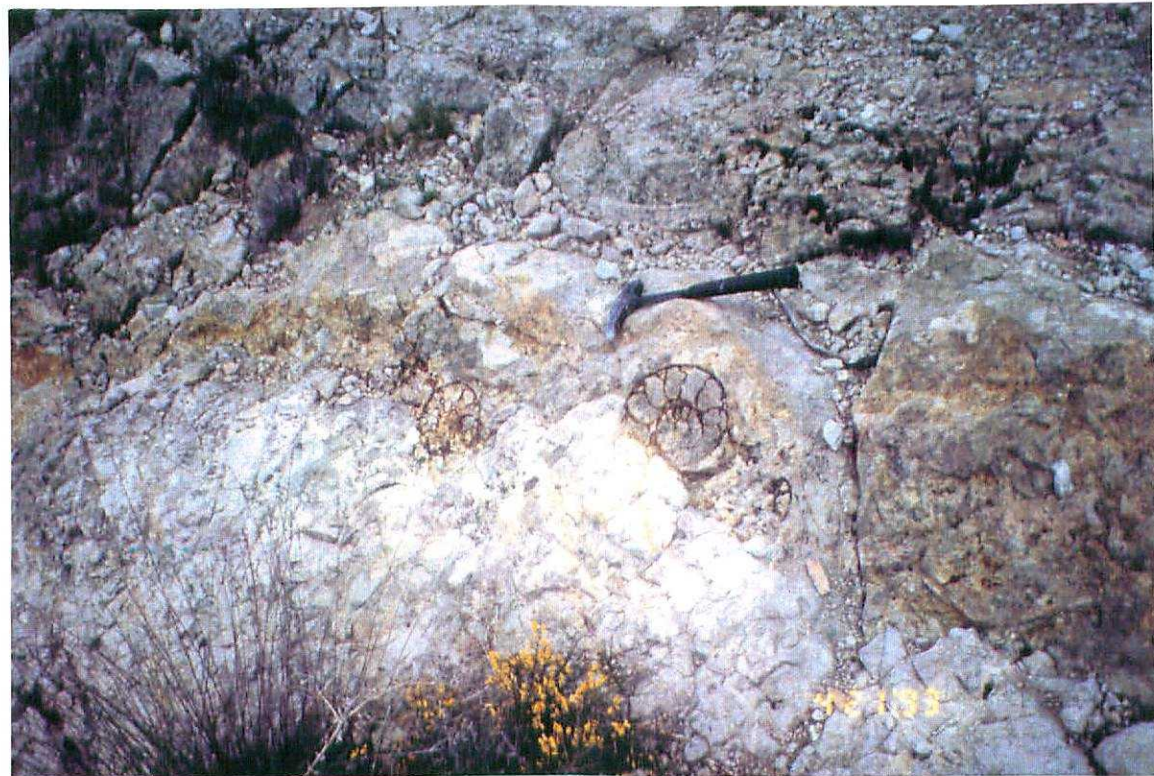
F-9029.- *Cancelophycus* en los niveles superiores de la unidad 2, calizas del Lías inferior.



F-9031.- Morfologías de barras arenosas en los niveles de techo de la unidad 2.



F-9033.- Vista lateral del "hard ground" de techo de la unidad 2.



F-9035.- Vista frontal del "hard ground" de techo de la unidad 2.



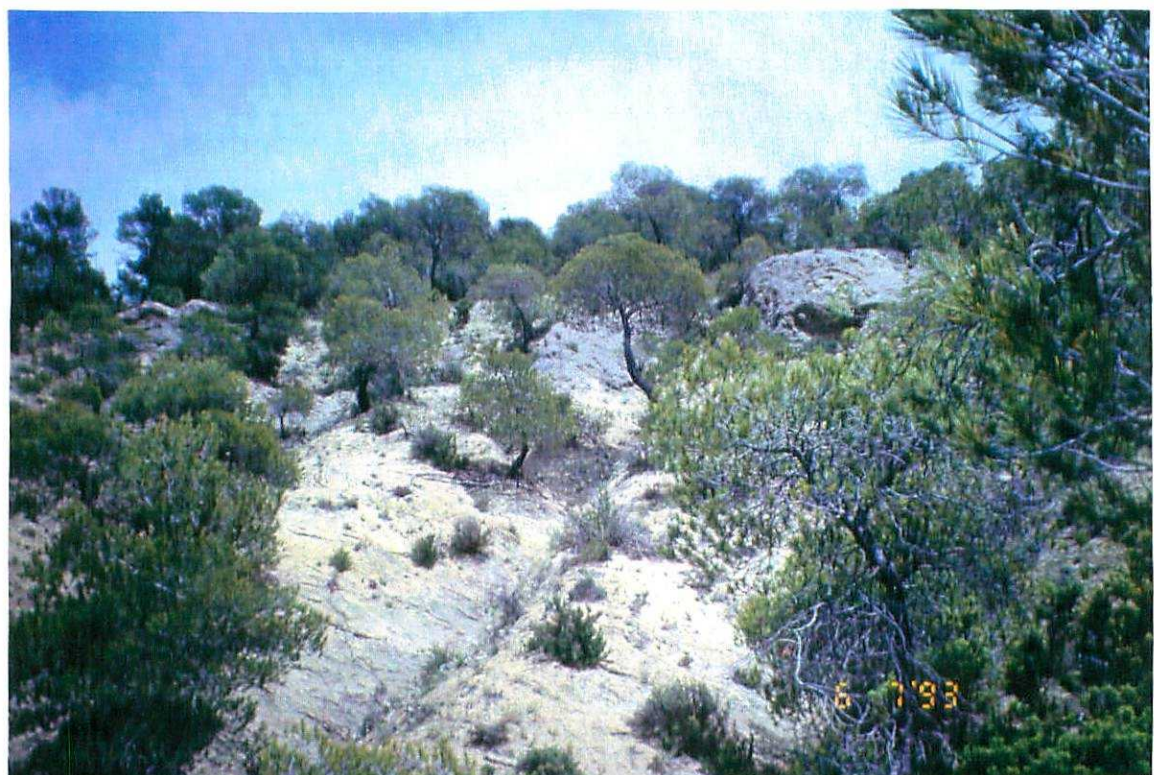
F-9043.- Panorámica del cabalgamiento de Sierra de Moncayo.



F-9045.- Espejo de falla mineralizado por óxidos de hierro y estrías de fricción variadas.



F-9064.- Tectonización intensa en un bloque de margocalizas jurásicas inmerso en la unidad tectónica.



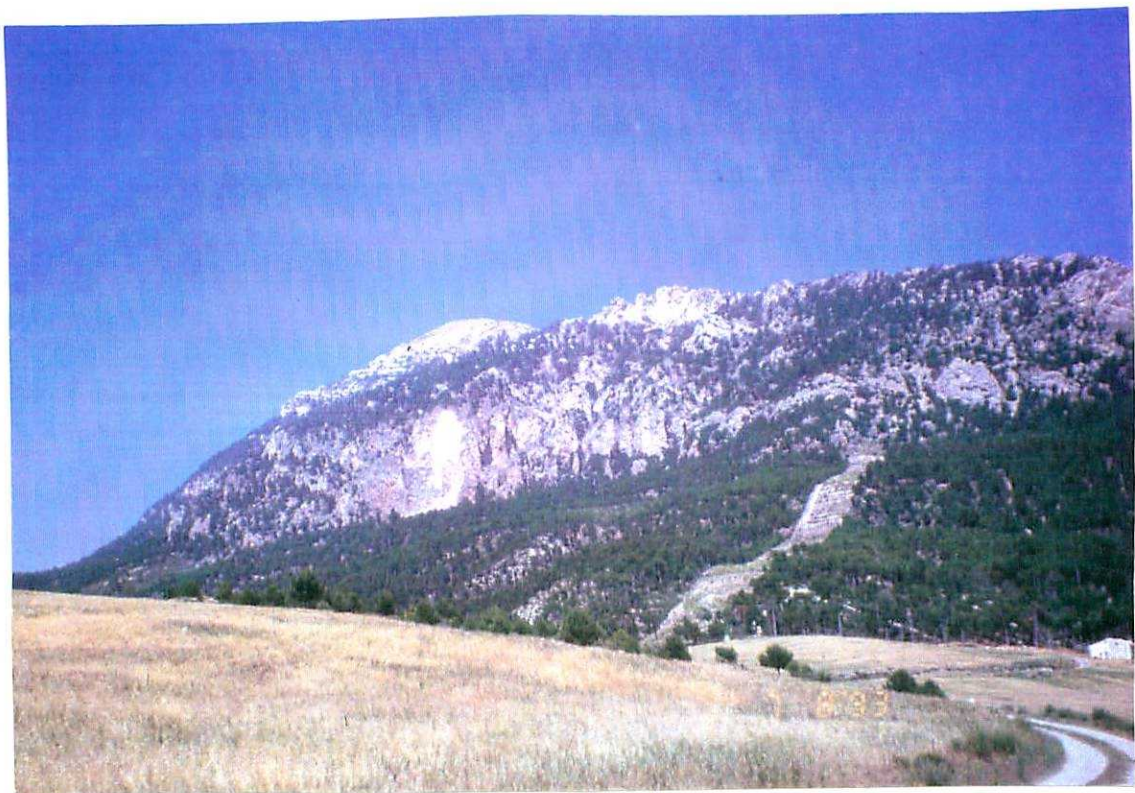
F-9069.- Masas triásicas entre margas con areniscas del Albienense (unidad tectónica).



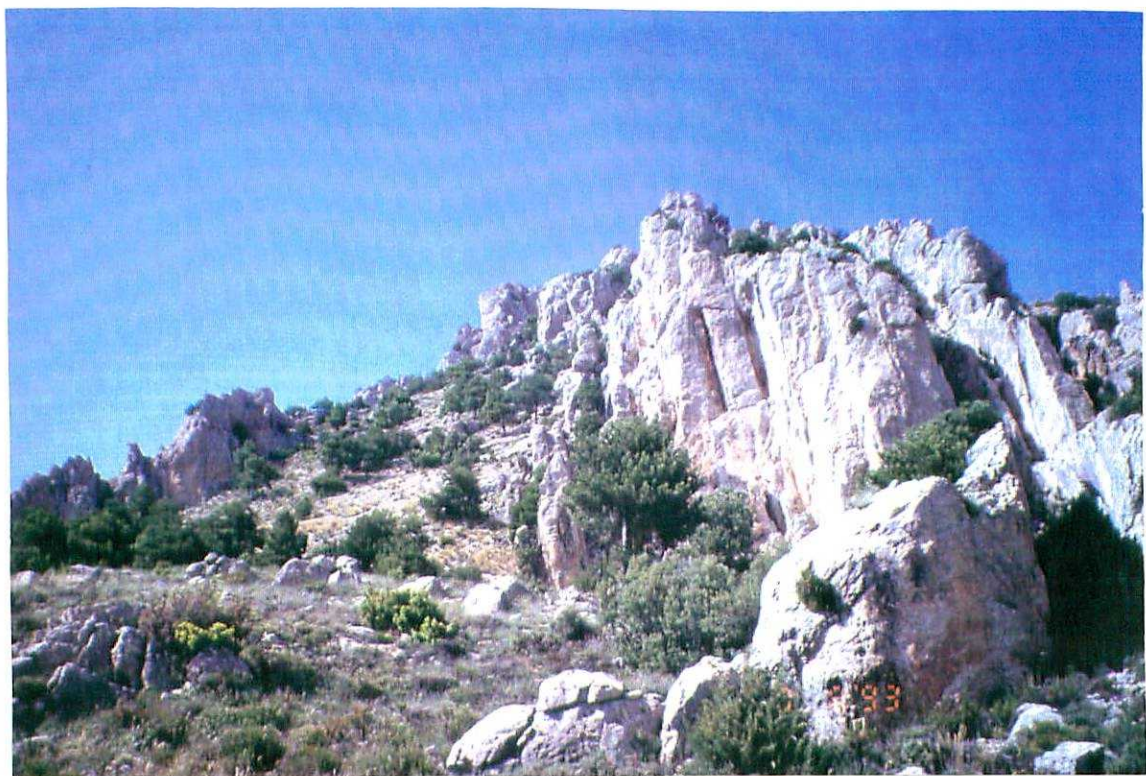
F-9076.- Nivel de yesos entre margas y areniscas del Albiense, muy tectonizadas (unidad tectónica).



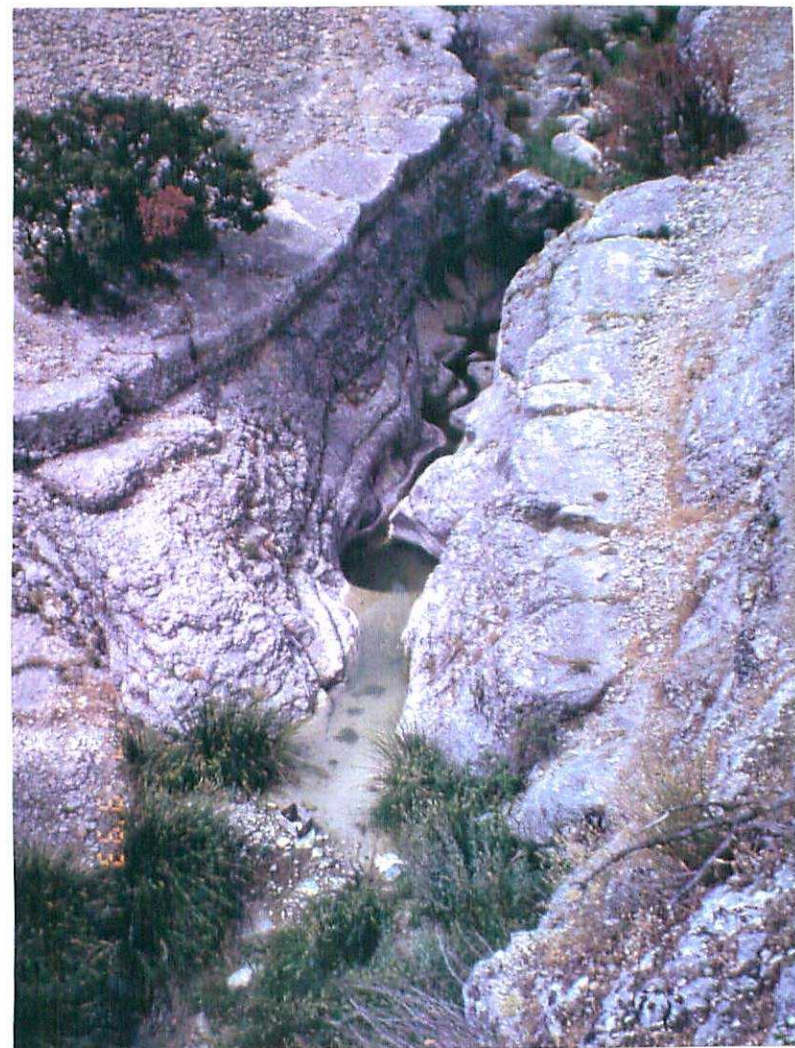
F-9080.- Cabalgamiento de Sierra de Moncayo, con deslizamientos de ladera en primer término.



F-9082.- Cabalgamiento de Sierra de la Sagra.



F-9083.- Capas verticalizadas de la masa alóctona de la Sagra en las inmediaciones del plano de cabalgamiento (rampa cabalgante).



F-9088.- Garganta del río Raigadas a la altura del Cortijo de los Rayones.



F-9097.- Estratificación "*hummocky*" en niveles detríticos de la unidad 5.



F-9098.- Niveles arenosos rosados del Senoniense (24).
• NO APARECE EN MCC1



F-9099.- Unidad tectónica bajo Sierra de Moncayo (margas lajeadas).

F-9101.- Unidad tectónica bajo Sierra de Moncayo (margas lajeadas).



F-9100.- Unidad tectónica bajo Sierra de Moncayo (margas lajeadas).





F-9103.- Nacimiento de la Cueva del Agua (manantial nº 2237/4/1).



F-9107.- Aspecto de la unidad tectónica cerca del pueblo de San Clemente. Predominan masas de margas y areniscas del Albienense sobre las margas y yesos triásicos.



F-9108.- Corales en las calizas de la unidad 32.



F-9109.- Contacto de la unidad tectónica (derecha de la foto) con las margas y calcarenitas del Mioceno (izquierda de la foto).



F-9117.- Calizas nodulizadas de techo de la unidad 22.



F-9118.- "Hard ground" de techo de la unidad 22.



F-9122.- Niveles nodulizados de techo de las secuencias elementales de la unidad 22.



F-9123.- Idem F-9122.



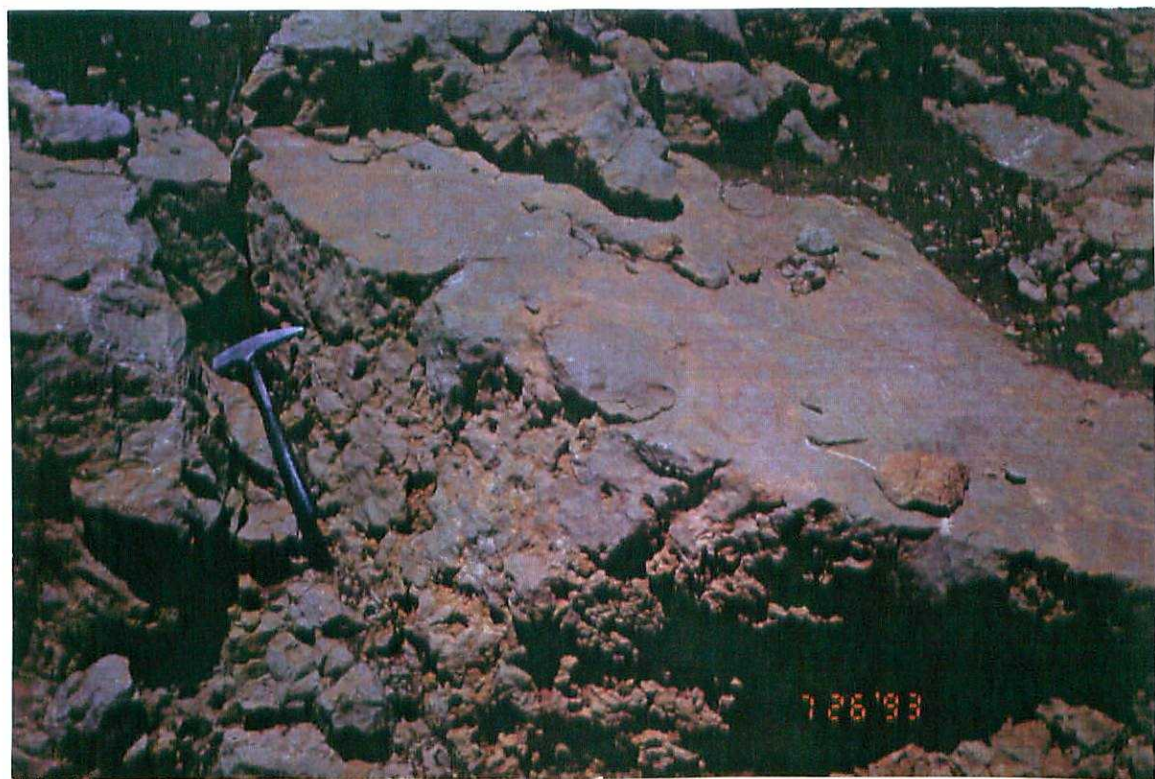
F-9126.- Núcleo del anticlinal de Sierra Seca, en este sector con ligera vergencia al SE.



F-9127.- Base kárstificada de las secuencias elementales de la unidad 18 (calizas con rudistas).



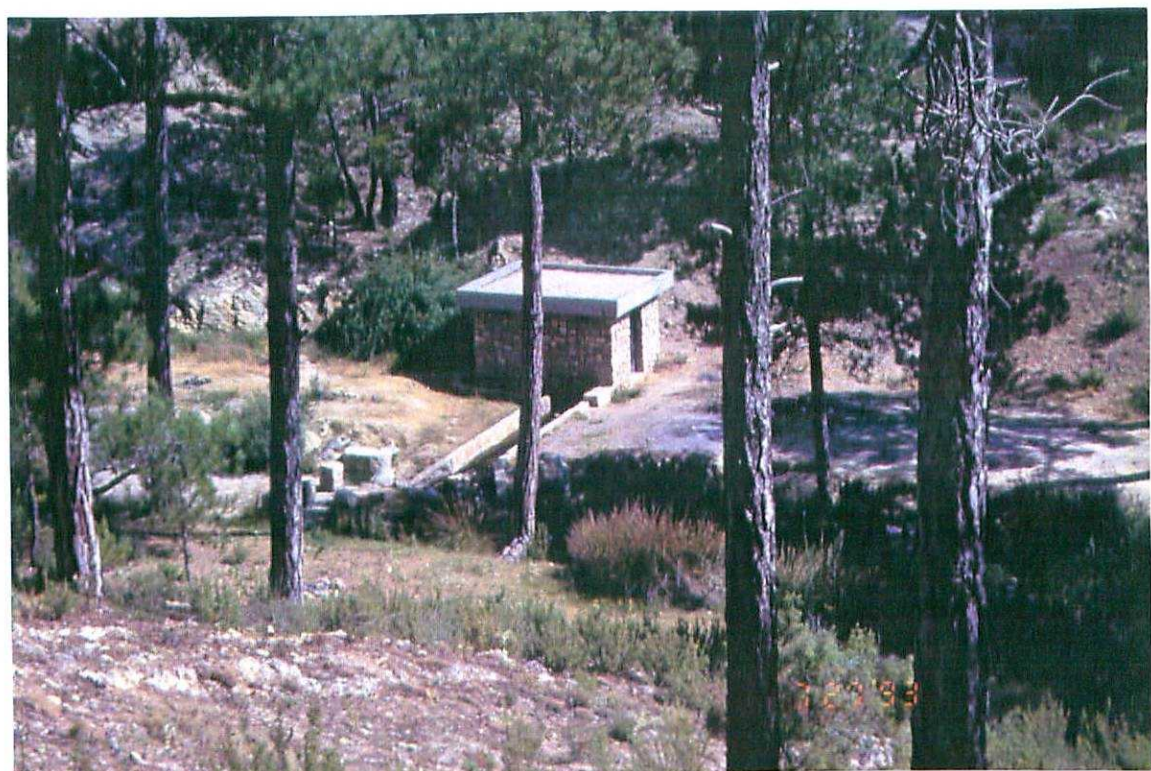
F-9128.- Niveles de acumulación de rudistas, algunos de ellos en posición de vida (18).



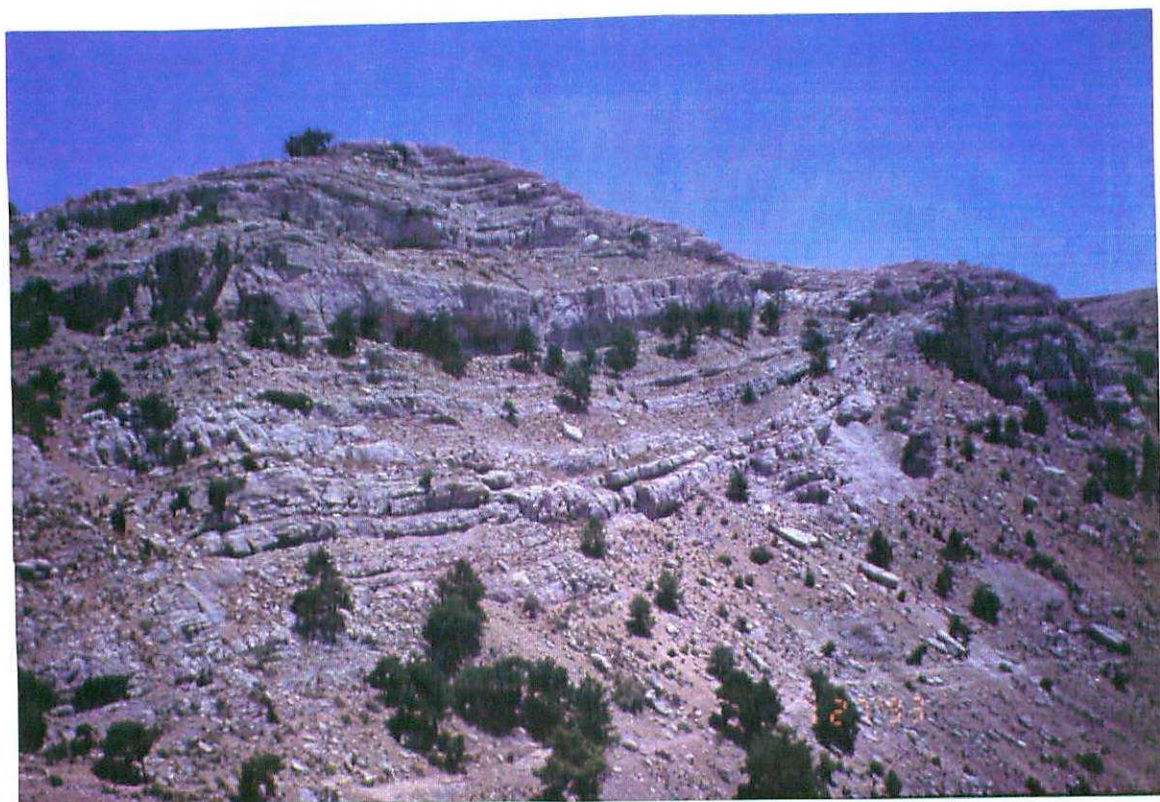
F-9129.- Niveles de techo, muy bioturbados, de las secuencias elementales de la unidad 18.



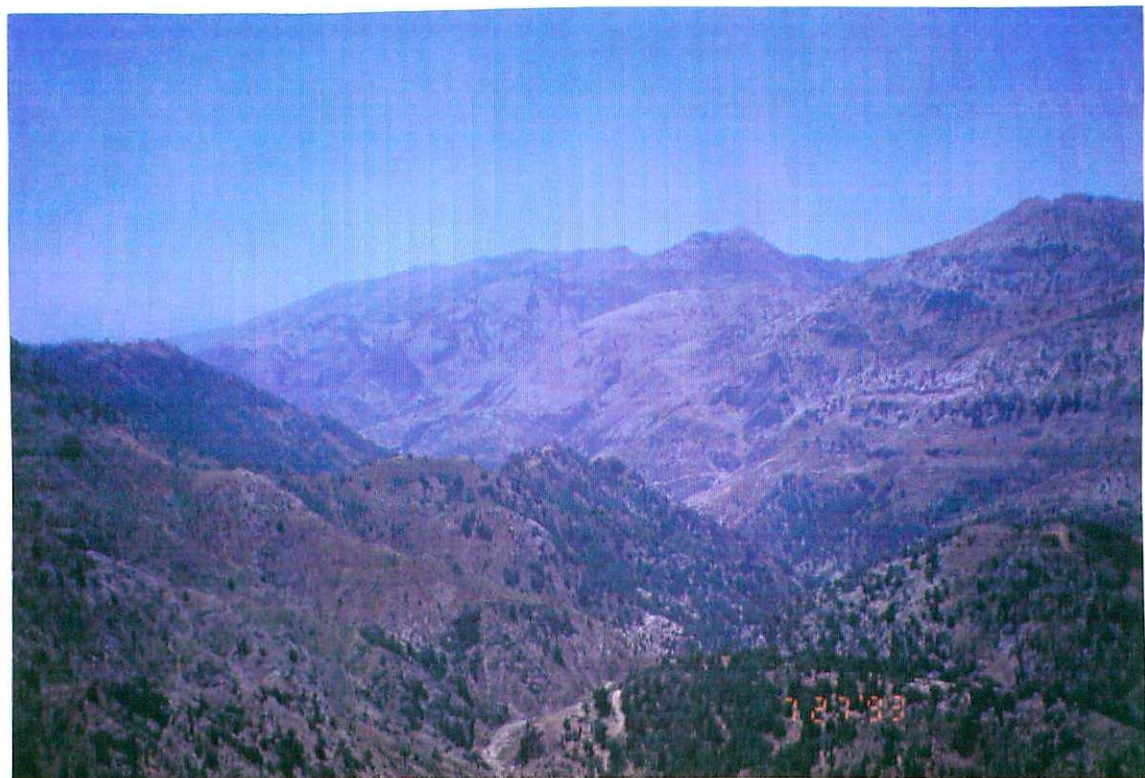
F-9137.- Nacimiento del río Guardal (manantial nº 2237/7/11).



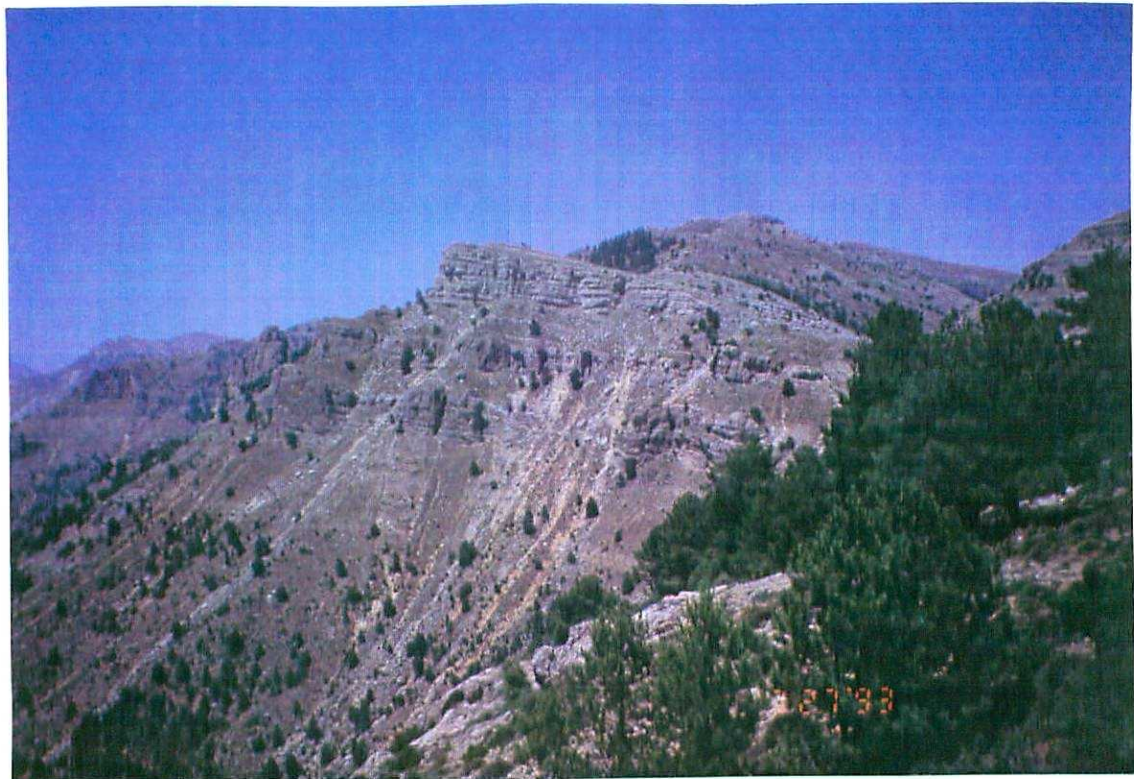
F-9138.- Nacimiento del río Guardal (manantial nº 2237/7/11).



F-9142.- Cuerpos progradantes de calcarenitas y areniscas (19) intercaladas en los carbonatos del Aptiense-Albiense (17 y 18).



F-9143.- Panorámica del valle del río Castril, con Sierra de la Cabrilla al fondo.



F-9144.- Ladera oeste de Sierra Seca, con los carbonatos Aptiense–Albiense (17 y 18) en las cotas superiores.



F-9146.- Morfología de barras en niveles "grainstone" (22).



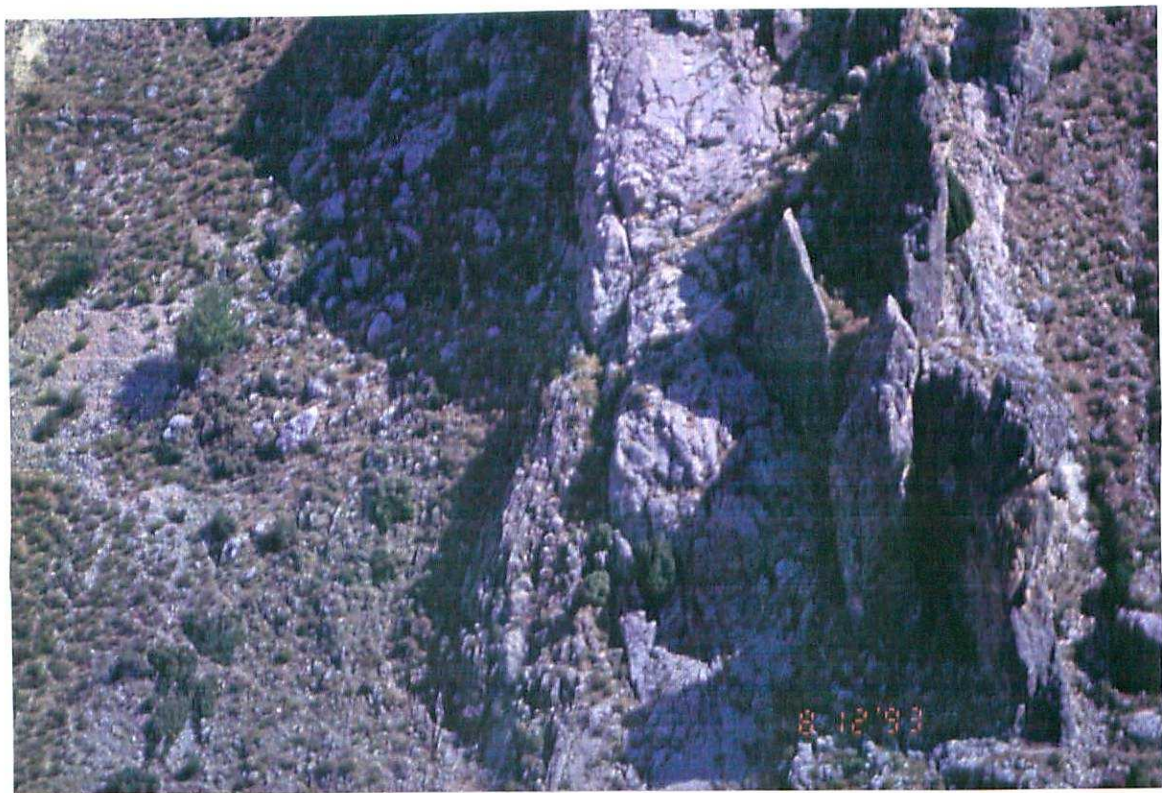
F-9148.- Secuencia de la unidad 30: calizas de algas a la base, microconglomerado encima y paso gradual a calcarenita con laminación paralela.



F-9149.- Panorámica de Sierra de la Cabrilla desde Sierra Seca, con el valle del río Castril entre ámbas.



F-9153.- Paso de calizas con rudistas a calcarenitas con formas de barras (19).



F-9160.- Falla inversa muy verticalizada y subparalela a las capas entre calizas del Mioceno y dolomías cenomanienses, en el flanco O de Sierra Seca.



F-9161.- Ripples en niveles arenosos entre dolomías del tramo 17.



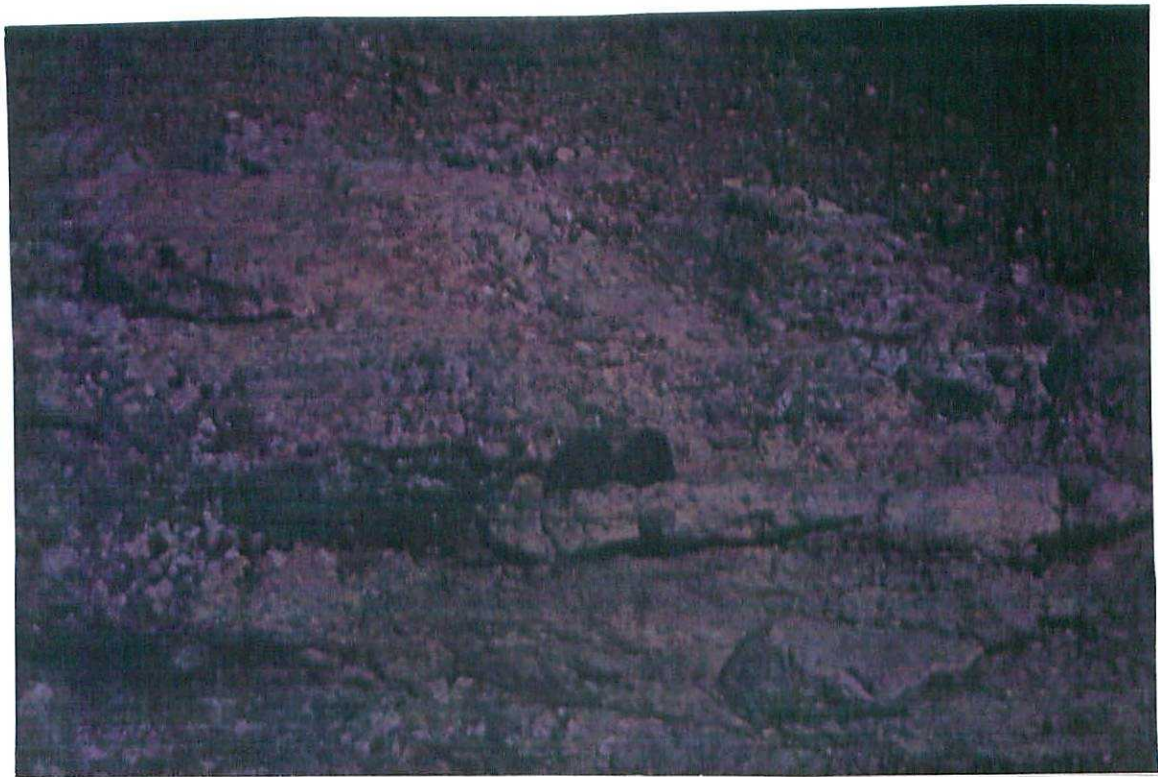
F-9167.- Secuencia del Cretácico inferior de Sierra Seca. Parte inferior dolomías del Berriasiense–Valangiense y techo de carbonatos Aptiense – Albienense (14 y 18 respectivamente).



F-9168.- Laminación cruzada de bajo ángulo en areniscas de la unidad 16.



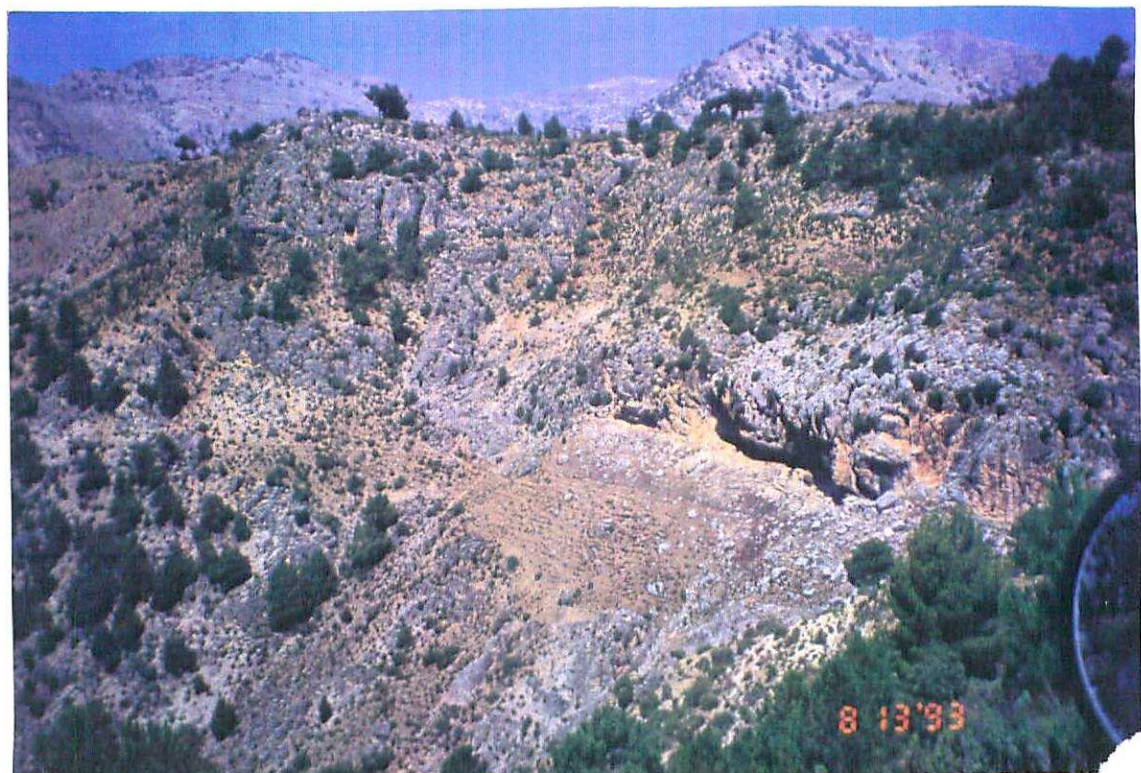
F-9169.- Areniscas laminadas (16) con cantos blandos angulosos.



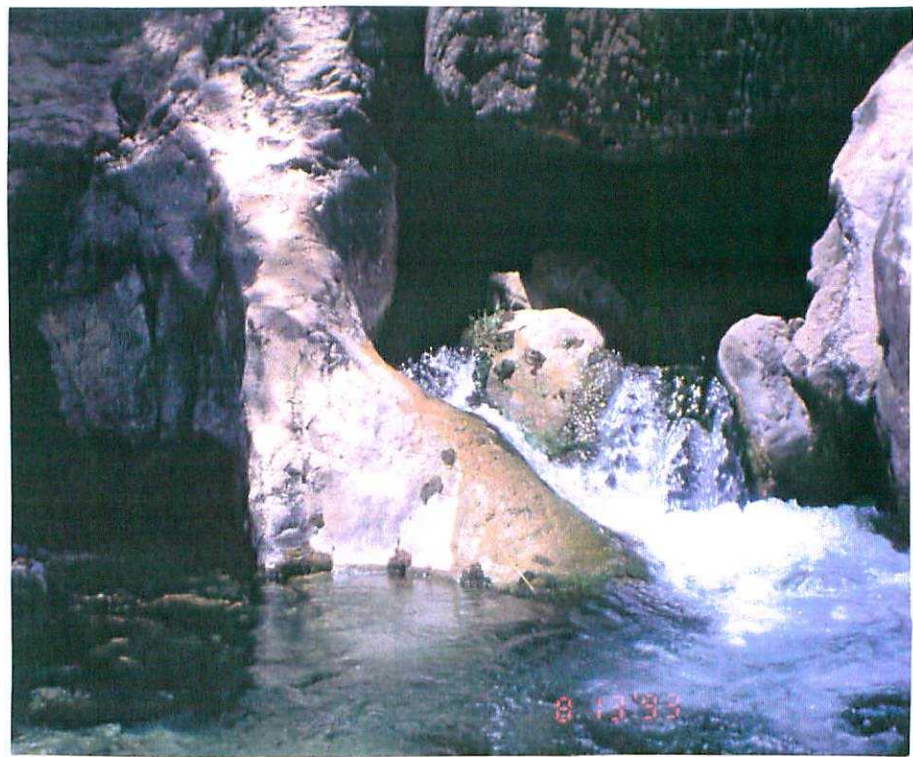
F-9170.- Nivel brechoide entre dolomías de la unidad 17.



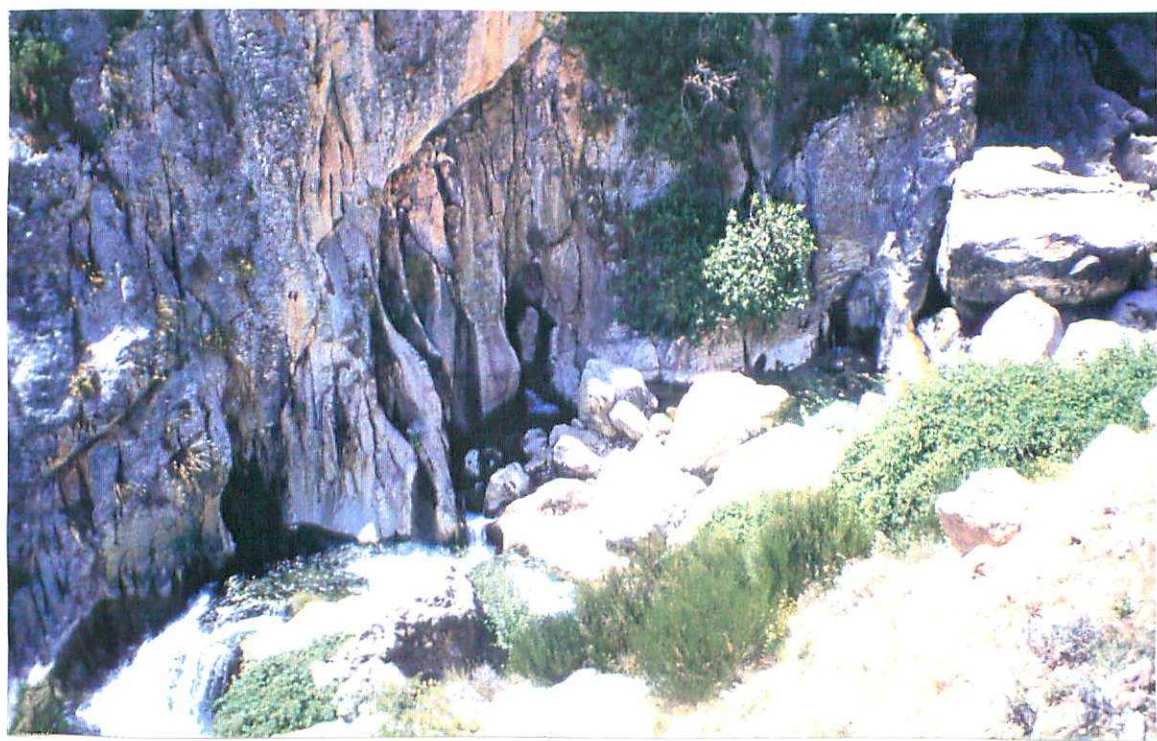
F-9174.- Alternancia de calizas y margas del tramo B, en el único afloramiento existente en Sierra Seca.



F-9175.- Niveles margosos dolomitizados entre dolomías (14).



F-9177.- Nacimiento del río Castril (manantial nº 2237/6/10).



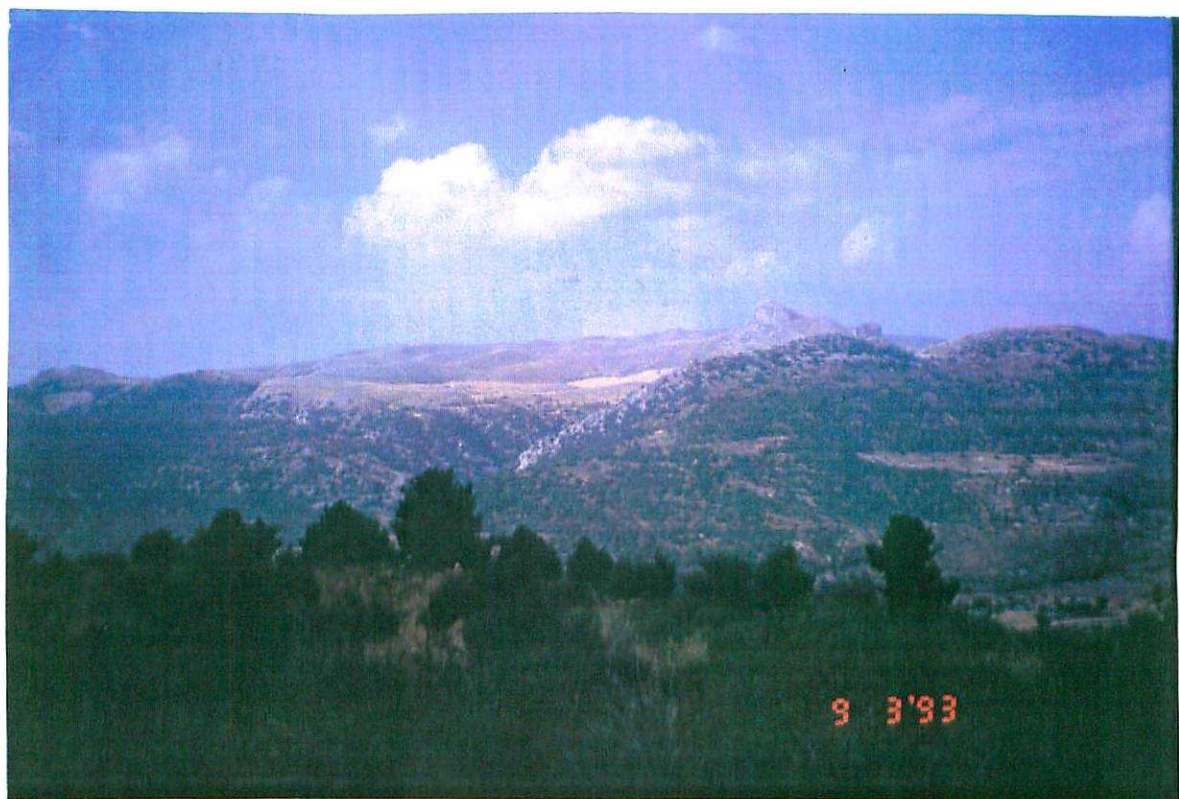
F-9178.- Nacimiento del río Castril (manantial nº 2237/6/10).



F-9179.- Gran bloque de calizas en la cabecera del río Castril (la altura del hueco sobre el lecho del río es de 2 m).



F-9182.- Margas tectonizadas incluidas en la unidad tectónica.



F-9184.- Panorámica del borde NE de la Hoja, en donde se distingue un nivel erosivo antiguo, situado a 1.600-1.800 m de cota.

• NO APARECE EN MCCI



F-9185.- Flanco O del anticlinal de Sierra Seca, donde se distinguen diversas escamas tectónicas.



F-9191.- Nivel brechoide y/o nodulizado en calizas de la unidad 18.



F-9196.- Núcleo del anticlinal de Sierra Seca, vergente al NO.



F-9232.- Suelos almohadillados propios de procesos de solifluxión en Sierra de la Cabrilla.



F-9233.- Estratificaciones cruzadas de bajo angulo y grandes dimensiones en calcarenitas (19).



F-9239.- "Hard ground" de techo de las calizas de la unidad 26.



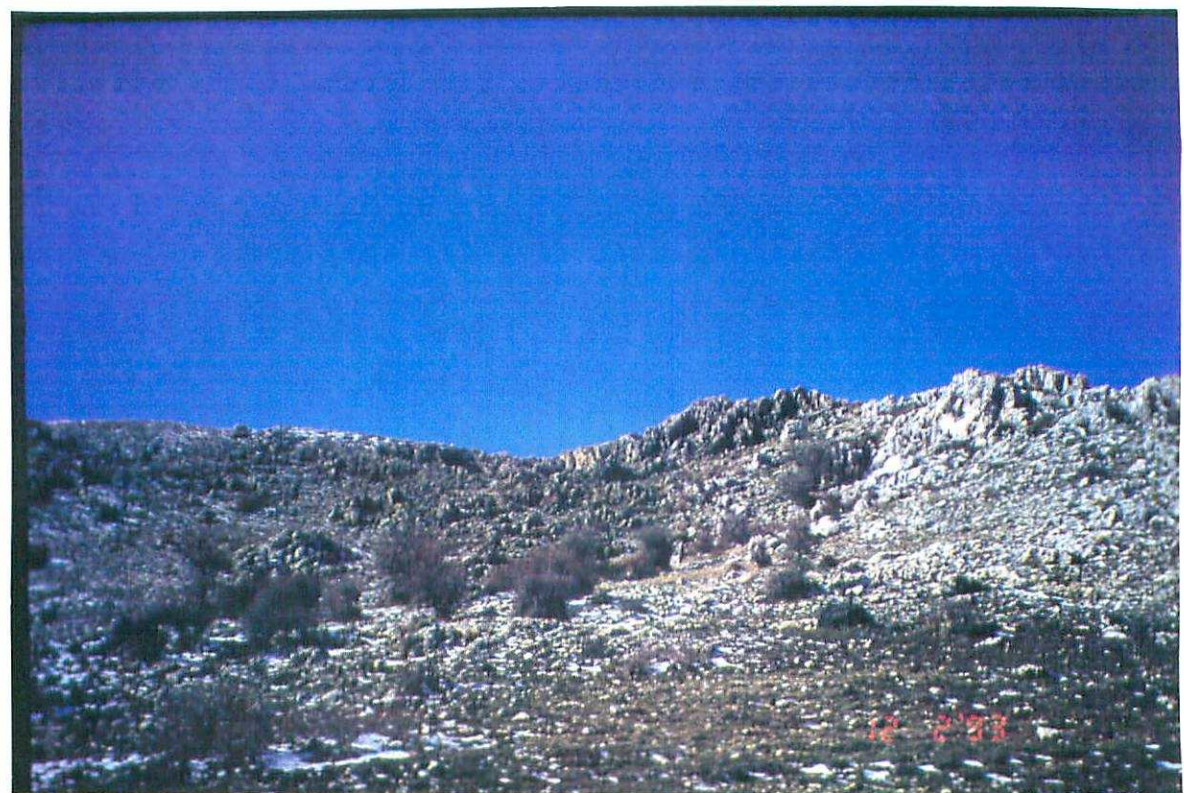
F-9241.- Secuencia de calizas de la unidad 18.



F-9243.- Nivel de calizas edáficas en la base de la unidad 24.



F-9244.- Superficie de aplanamiento kárstico en Sierra de Segura, que forma parte del karst de Pinar Negro.



F-9245.- Dolomitizaciones parciales de las calizas de la unidad 24.



F-9246.- Cavidad kárstica rellena de carbonatos marrones (nivel edáfico) a muro de la unidad 24.



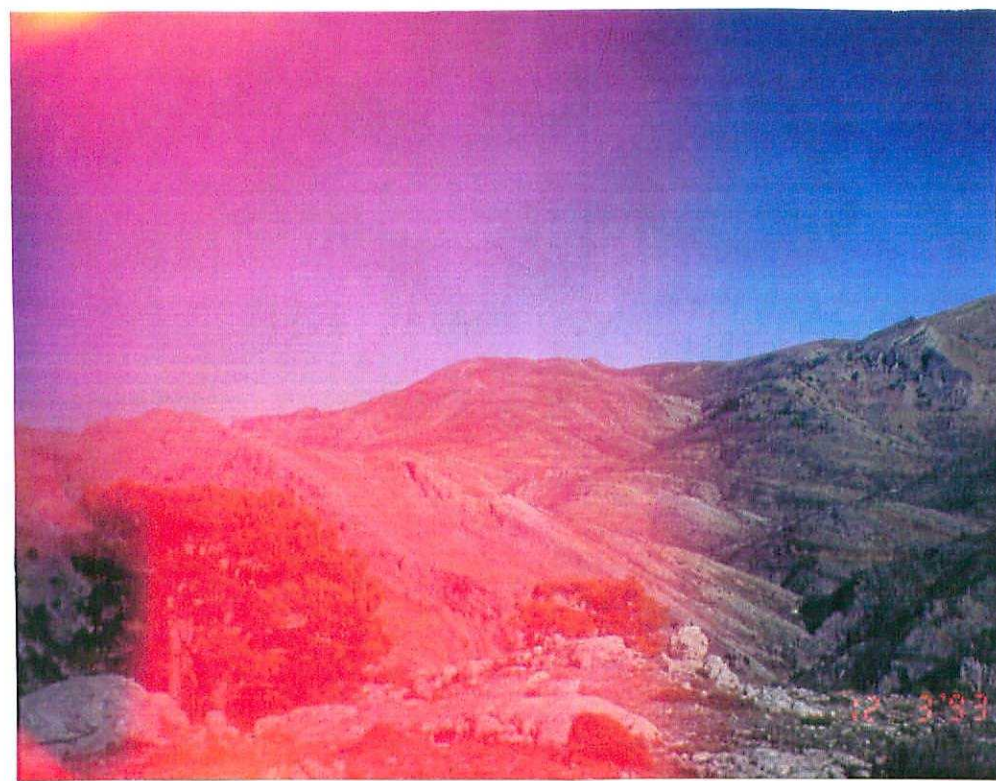
F-9249.- Acuñamientos (cambio de facies) entre dolomías (21) y calizas y margas (22).



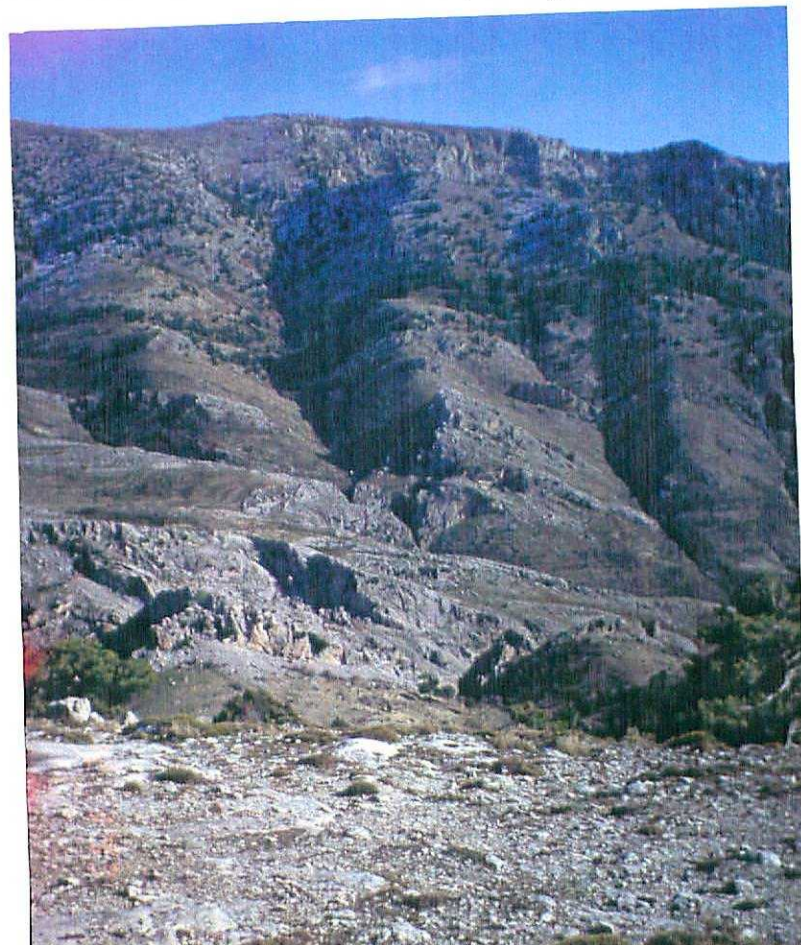
F-9250.- Acuñamientos (cambio de facies) entre dolomías (21) y calizas y margas (22).



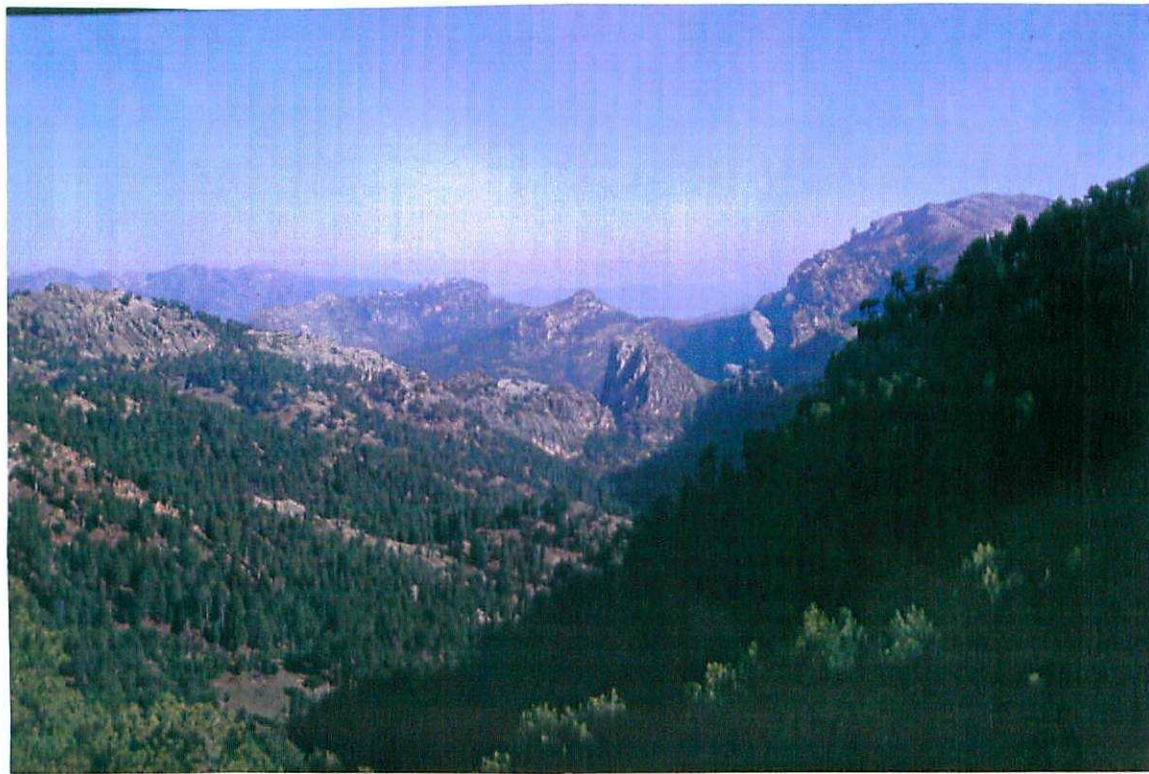
F-9252.- Tramos laminados (posiblemente laminación por algas) de las dolomías cenomanianas (23).



F-9254.- Panorámica del flanco O de Sierra Seca, cabalgante sobre Mioceno.



F-9255.- Idem. Cada escarpe corresponde a una lámina tectónica de un sistema de fallas inversas imbricadas.



F-9265.- Relieve del borde NO de la Hoja. Al fondo se observa el cabalgamiento de Sierra del Segura sobre margas miocenas.



F-9266.- *Hard ground* de techo del tramo 30, con evidencias de carstificación y depósito de glauconita y posibles fosfatos.



F-9269.- Corales en calizas senonienses (24).



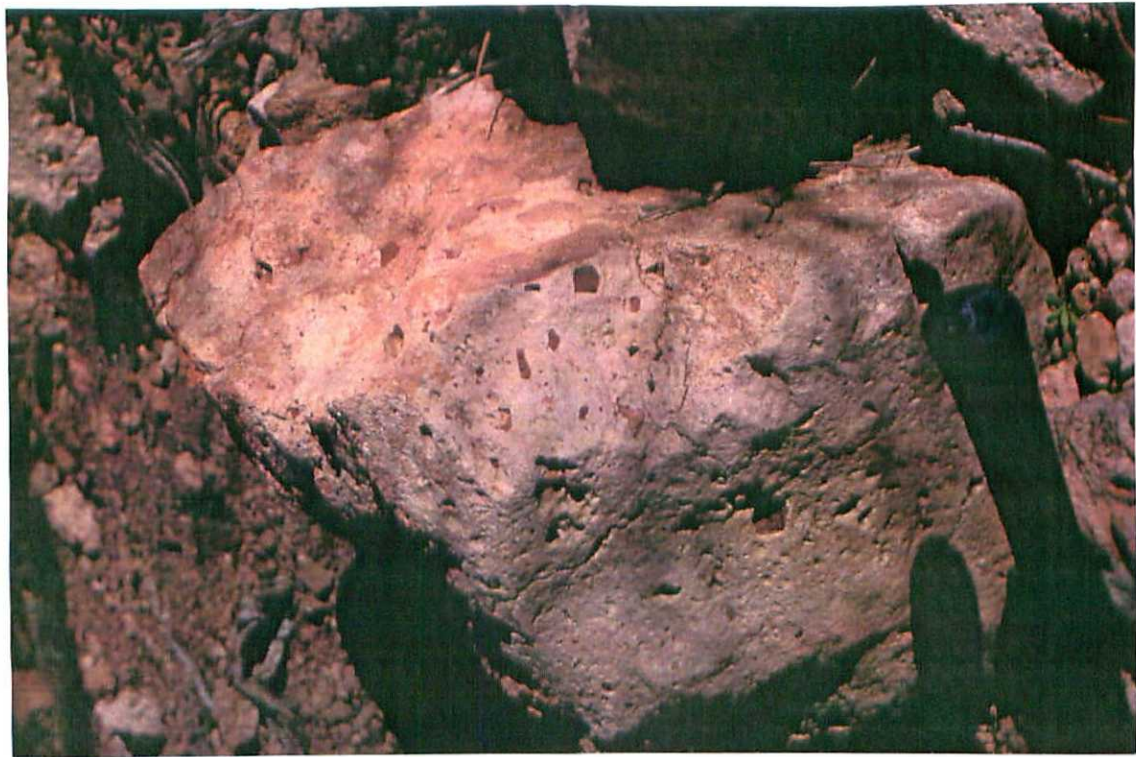
F-9271.- Estratificaciones cruzadas en calizas (portlandiense–berriasiense) (13).



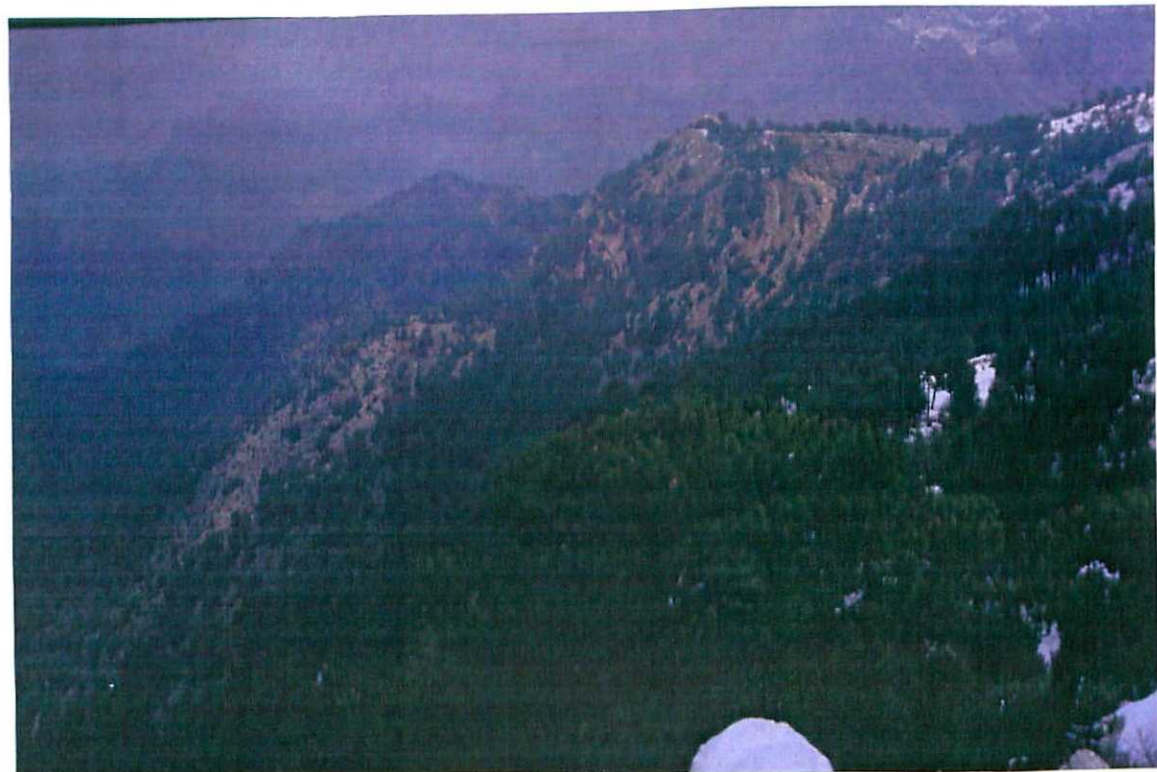
F-9279.- Grandes rodolitos de algas en calizas miocenas (30).



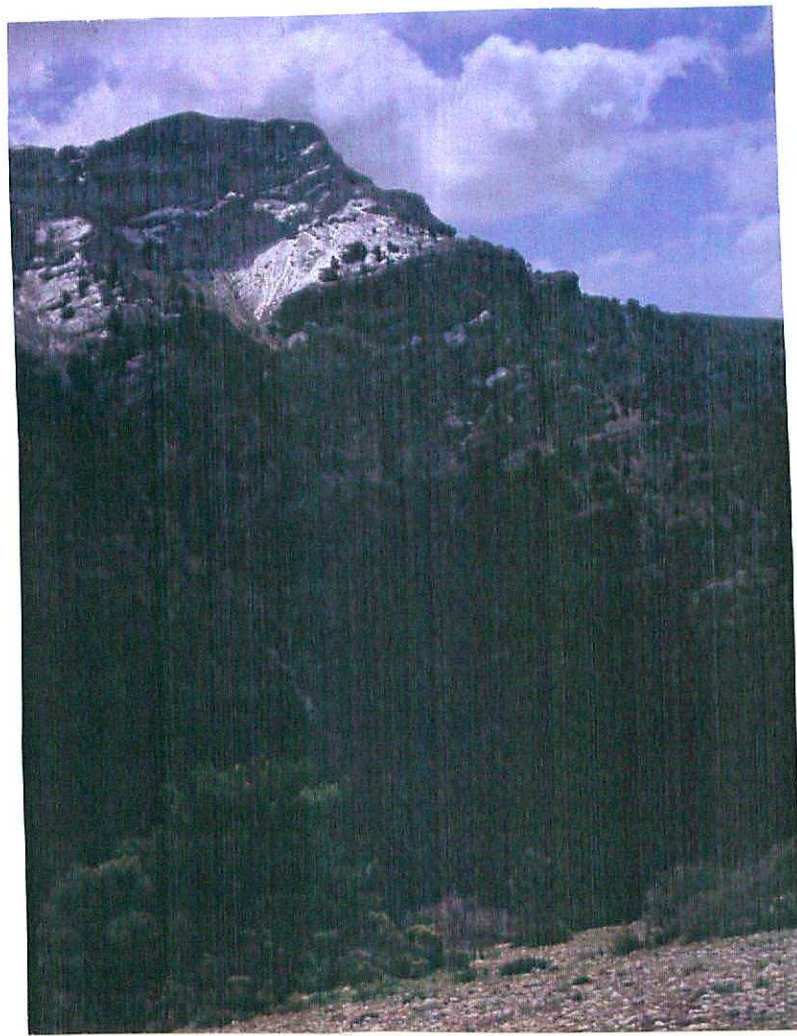
F-9286.- Aspecto de las brechas del Mioceno (32).



F-9287.- Cantos blandos de arcillas triásicas y grandes nummulítidos en la base de la unidad 32.



F-9291.- Anticlinal vergente al O de la esquina NO de la hoja.



F-9293.- Ladera occidental de Sierra de la Cabrilla, con secuencia completa del Cretácico inferior al Senoniense, el último escarpe corresponde a calizas del Mioceno.



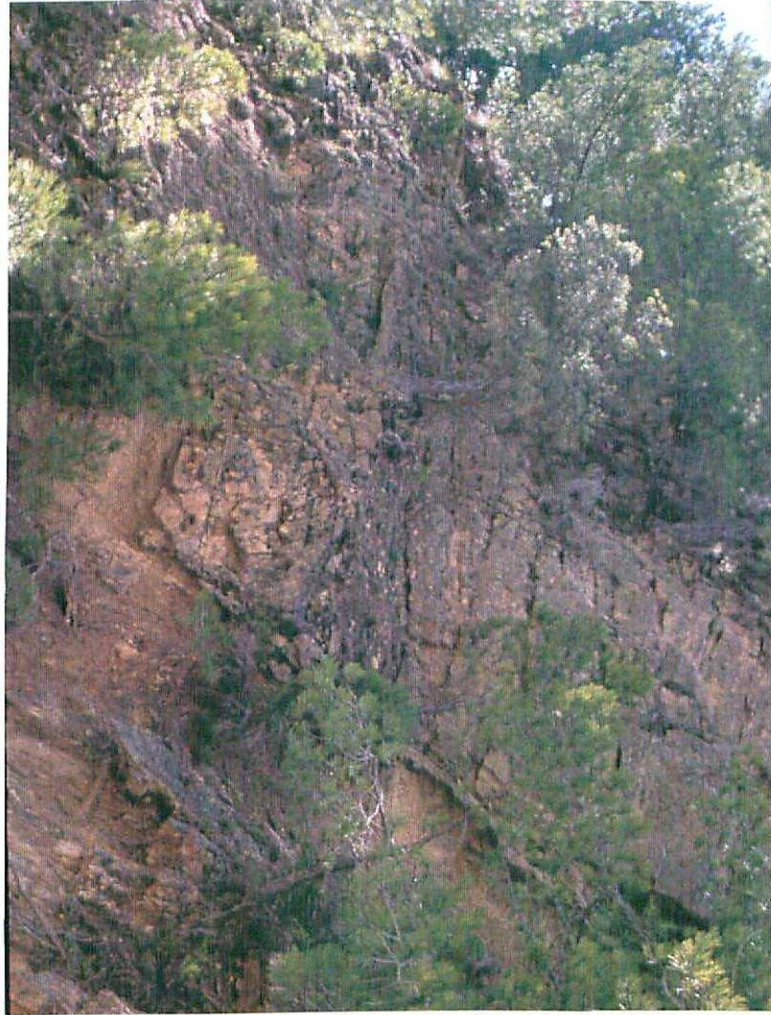
F-9294.- Cabecera del río Guadalentín y Sierra de la Cabrilla a la derecha, culminada por calizas del Mioceno (30).



F-9295.- Calizas miocenas (en primer término) cabalgadas por dolomías del Cenomaníense (fondo). Cabalgamiento en la Cuerda de los Alcañetes.



F-9298.- Techo de la unidad 14 con bioclastos de corales y "hard ground" con óxidos de Fe, perforado por organismos incrustantes.



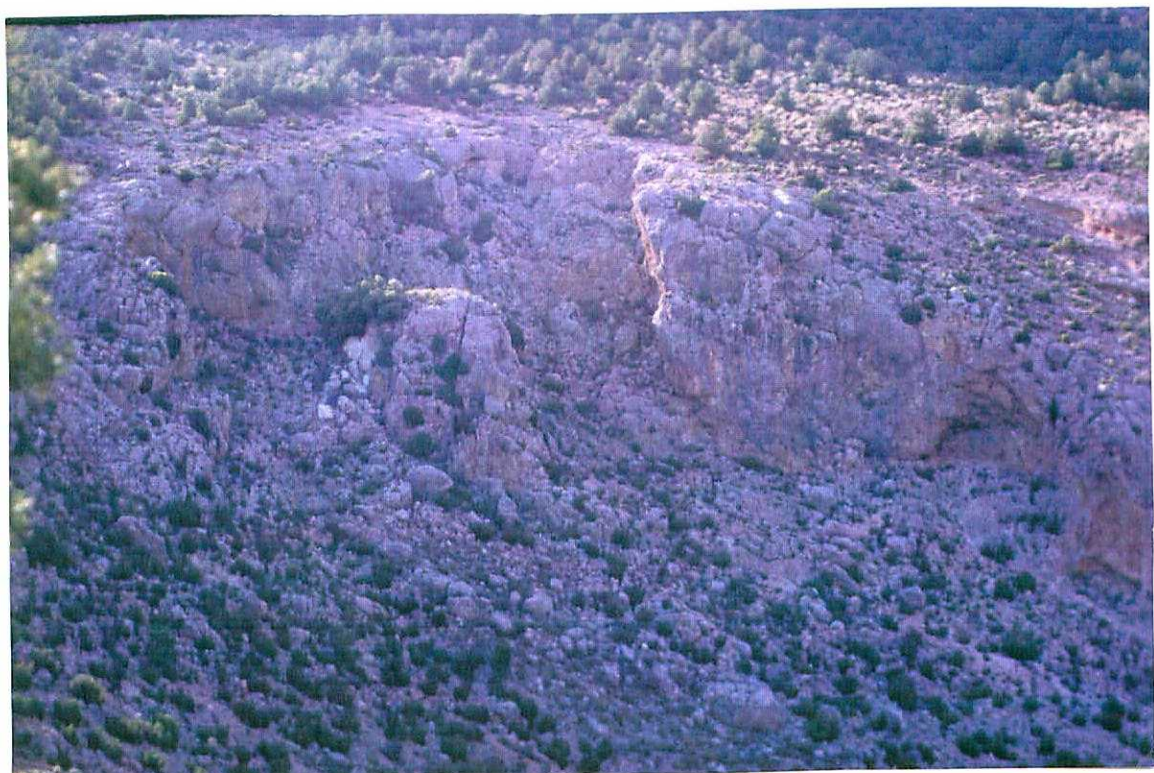
F-9300.- Estratificaciones cruzadas y estructuras canalizadas en arenas (16).



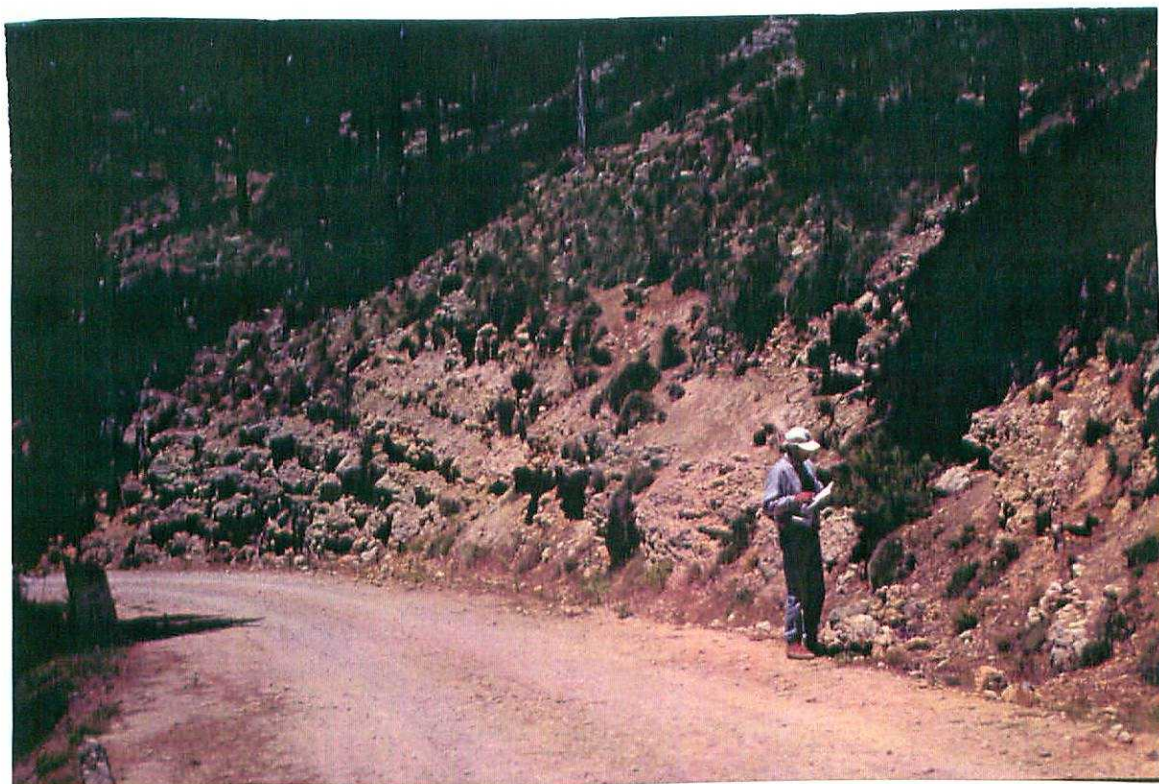
F-9301.- Nivel de gravas redondeadas de techo de la unidad 16.



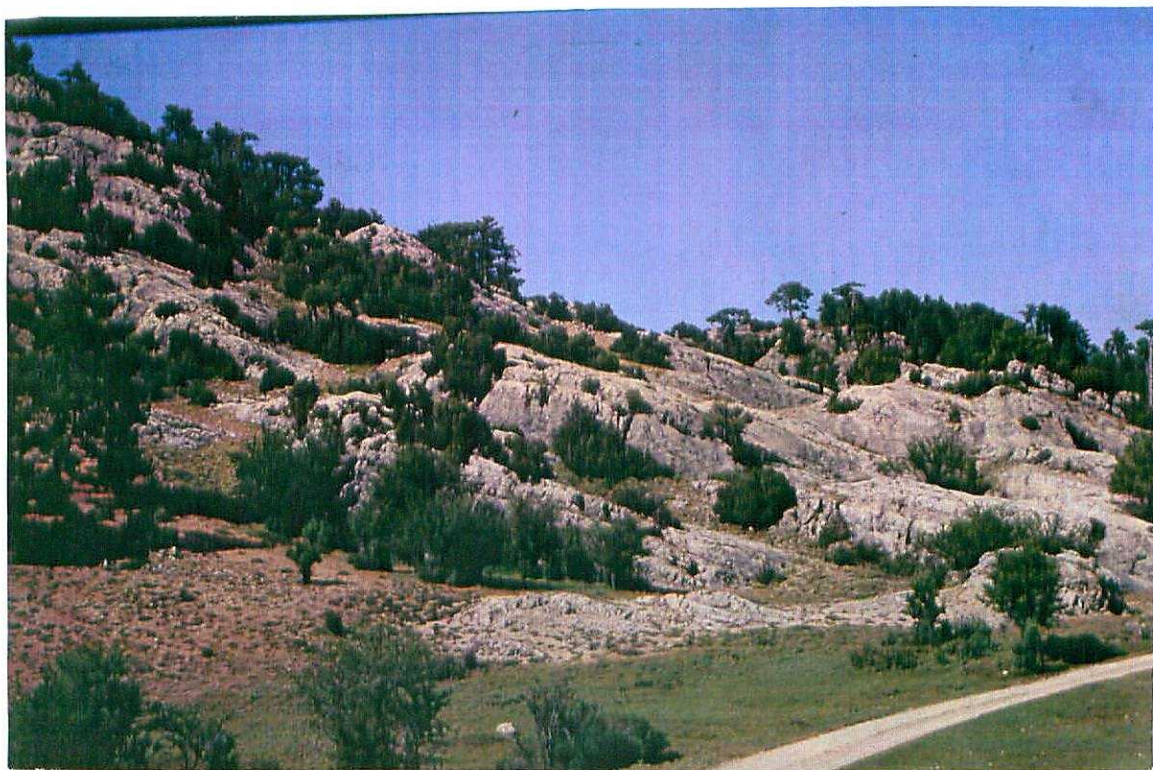
F-9302.- Brechas calcáreas del Mioceno (32) de la vertiente O de Sierra Duda.



F-9303.- Hundimiento de la falla oriental de Sierra Bermeja.



F-9304.- Aspecto de la unidad 18 (calizas con rudistas y margas) en el corte de Los Arenales.



F-9305.- Morfología de barras de las dolomías cenomanienses.

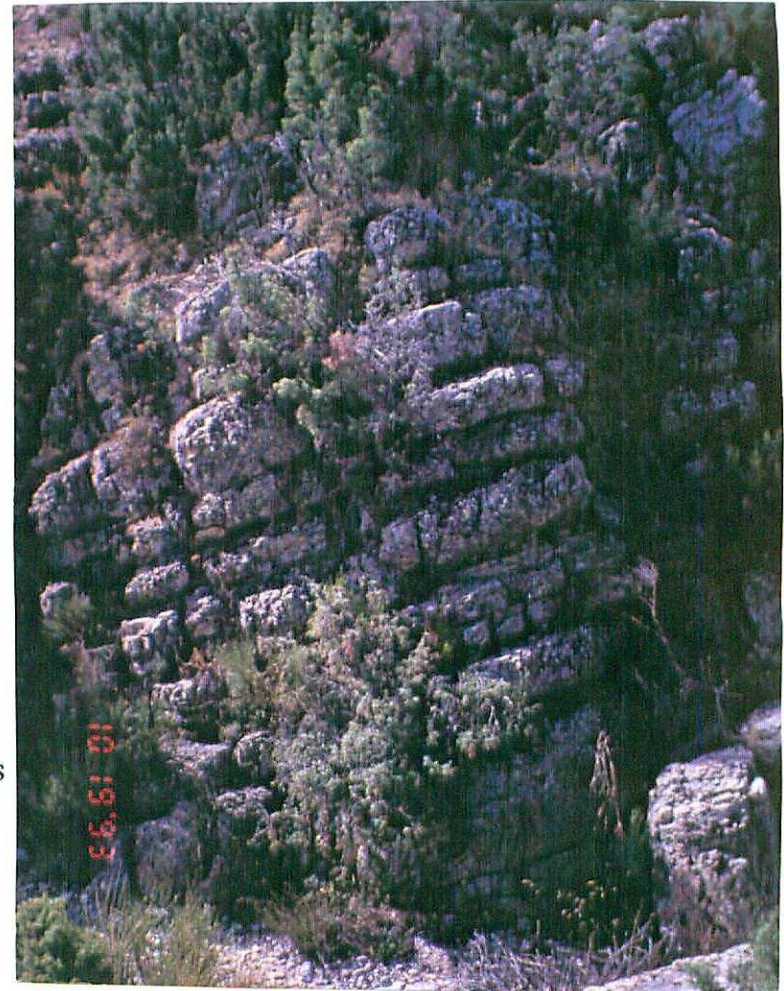


F-0104.- Secuencias estratocrecientes en calizas del Lías inferior (2) del corte 01 (Cueva del agua).

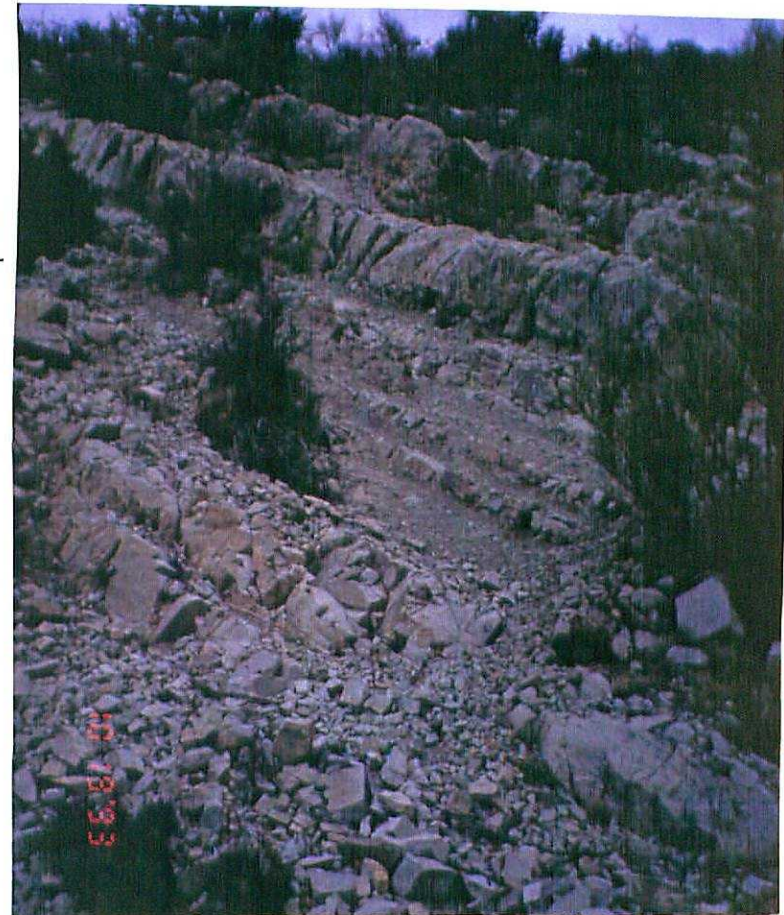


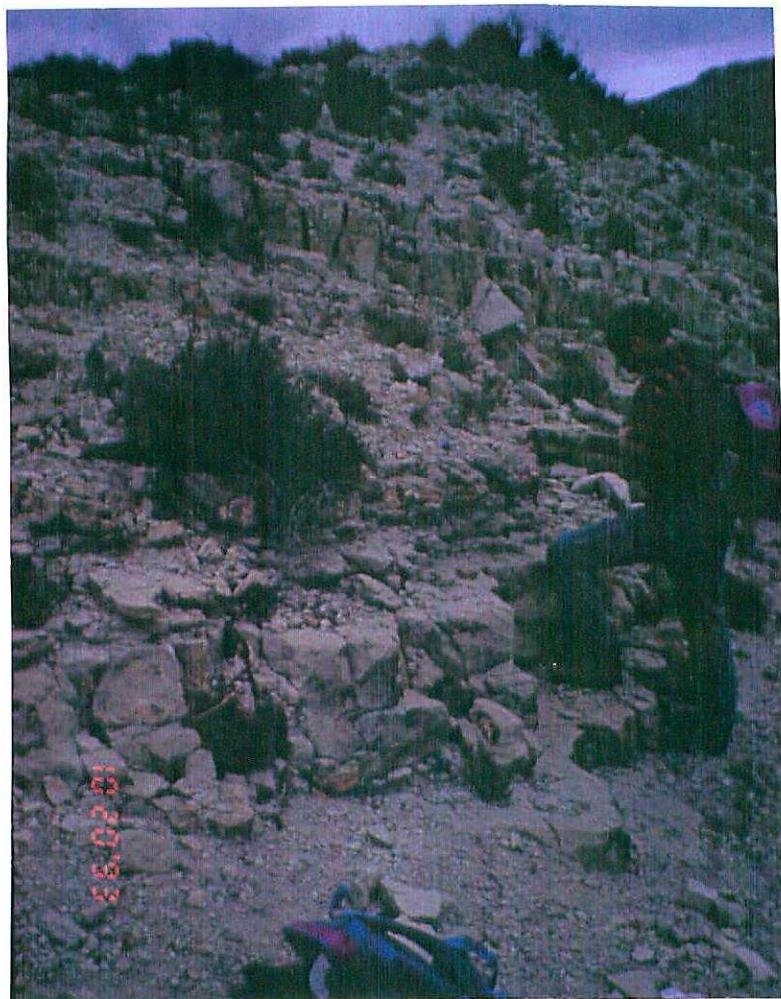
F-0105.- Secuencias estratocrecientes en calizas del Lías inferior (2) del corte 01 (Cueva del agua).

F-0106.- Secuencias estrocrecientes en calizas del Lías inferior (2) del corte 01 (Cueva del agua)



F-0110.- Aspecto de la alternancia de margas y calizas de edad Dome-riense-Toarcienense (3). Corte 01 (Cueva del Agua)

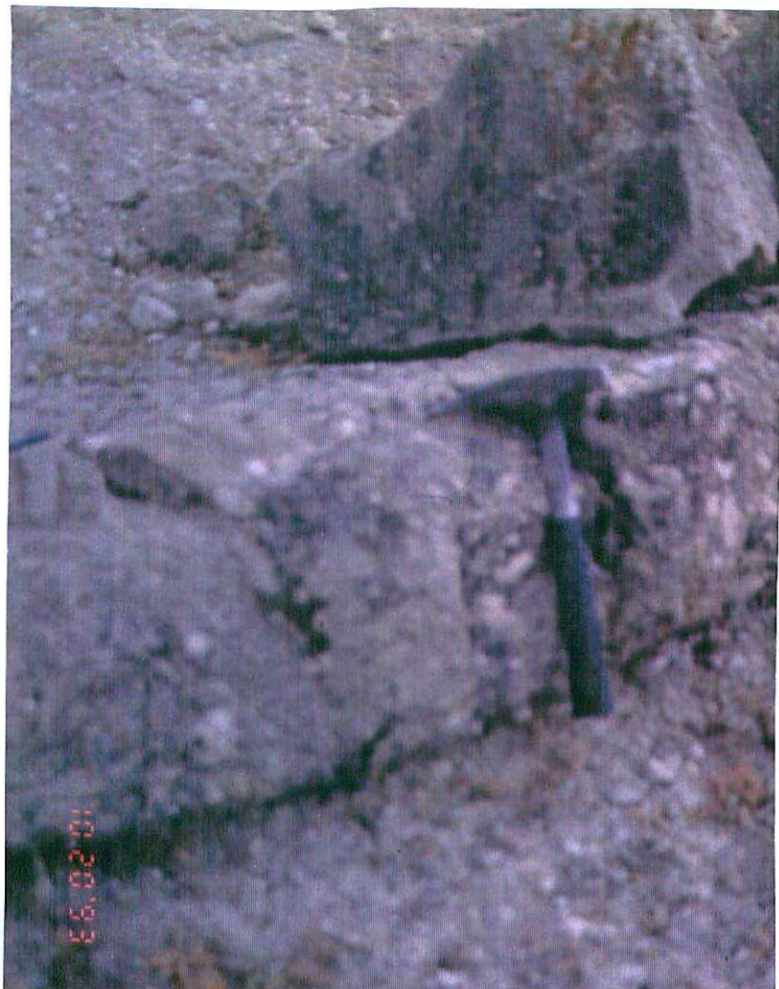




F-0303.- Secuencias estratocrecientes margas-calizas del Bajociense (7) en el corte 03 (Canal Carlos III).



F-0306.- Secuencias estratocrecientes margo-calizas del Bajociense (7) en el corte 03 (Canal Carlos III)



F-0313.- Nivel de brechas del Kimmeridgiense en el corte 03 (Canal Carlos III).



F-0405.- Caliza detrítica laminada con techo retocado por oleaje (¿tempestita?) 5 corte 04 (NO Sierra del Muerto).







EE, S: D





10/20/93



03-20-33



1020.00



10.27.93

ES-123





42189





66124









6-4-93







C 7193













1833









12/14/33











12033



380'33



020 53















7.25.93



66.921

6.18.1









38783



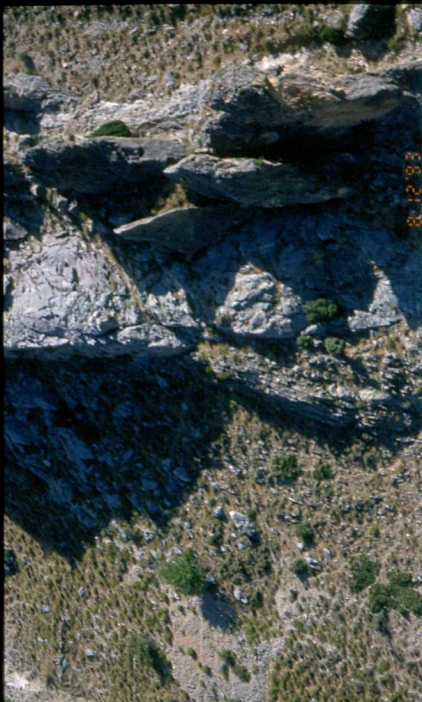
8783

























8 :3'33











9 3'93



9.6'93





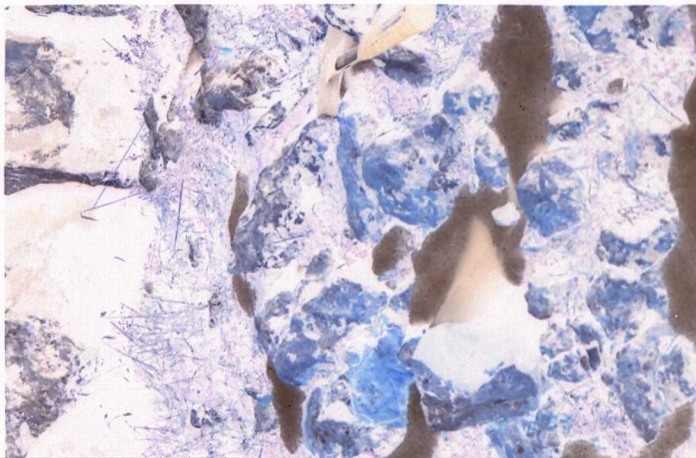
11.03

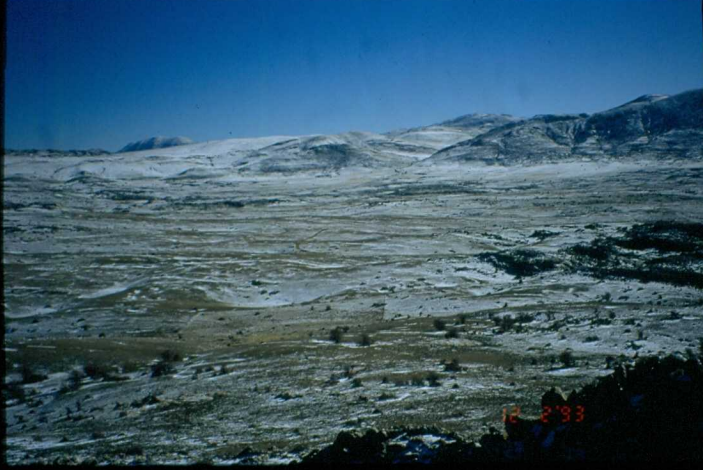






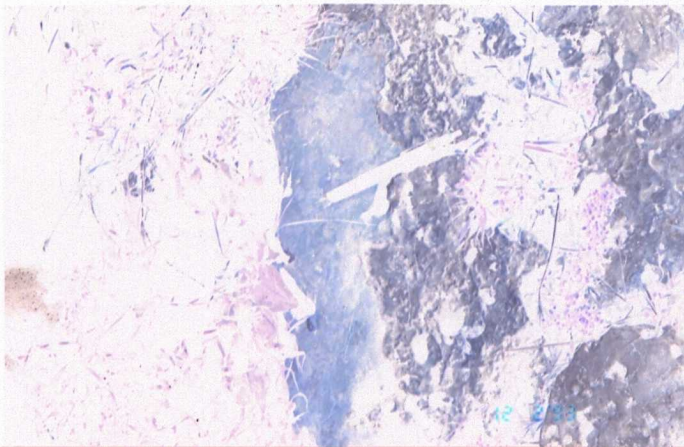






是鳥,不是鳥























112' 0"









